

安徽省典型城市周边土壤-蔬菜中 PAHs 的污染特征

郜红建, 魏俊岭, 马静静, 郑彬

(安徽农业大学资源与环境学院, 合肥 230036)

摘要:研究了安徽省合肥、芜湖和亳州市周边蔬菜地土壤和蔬菜中 PAHs 的含量及其污染特征。结果表明:安徽省典型蔬菜地土壤中 15 种 PAHs(除萘外)的残留总量在 $58.2\text{--}437.8 \mu\text{g}\cdot\text{kg}^{-1}$ 之间,三环和四环 PAHs 占 PAHs 残留总量的 70%以上。胡萝卜、菠菜和茄子体内 15 种 PAHs 的含量在 $23.4\text{--}209.1 \mu\text{g}\cdot\text{kg}^{-1}$ 之间, 均值为 $120.7 \mu\text{g}\cdot\text{kg}^{-1}$, 三环和四环 PAHs 占蔬菜中 PAHs 富集总量的 92.8%~94.4%。不同蔬菜体内 8 种可疑性致癌 PAHs 的含量在 $11.5\text{--}17.4 \mu\text{g}\cdot\text{kg}^{-1}$ 之间, 分别占蔬菜中 PAHs 残留总量的 9.80%~13.8%, 其中 BaP 含量在 $1.69\text{--}2.03 \mu\text{g}\cdot\text{kg}^{-1}$ 之间, 低于国家对食品中污染物(BaP)的限量标准($5 \mu\text{g}\cdot\text{kg}^{-1}$)。不同类型 PAHs 在蔬菜体内的富集系数在 0.10~9.20 之间, 极差达 10 倍以上, 低分子量 PAHs 在蔬菜体内的富集系数要大于高分子量 PAHs。不同 PAHs 在蔬菜体内的富集系数表现为胡萝卜>菠菜>茄子, 其中芴在蔬菜体内的富集系数最高。

关键词:PAHs; 土壤; 蔬菜; 残留; 污染

中图分类号:X835 文献标志码:A 文章编号:1672-2043(2012)10-1913-07

Characteristics of PAHs Contamination in Soil and Vegetable in Typical City Outskirt of Anhui Province, China

GAO Hong-jian, WEI Jun-ling, MA Jing-jing, ZHENG Bin

(School of Resources and Environment, Anhui Agricultural University, Hefei 230036, China)

Abstract:Residual levels of polycyclic aromatic hydrocarbons(PAHs) in 38 vegetable soils, as well as bioaccumulation of PAHs from soils to different vegetables in Hefei, Wuhu and Bozhou cities of Anhui Province were investigated by using accelerated solvent extraction and high performance liquid chromatography methods. Results revealed that the levels of total 15 PAHs(except Nap) in surface soils(0~20 cm) collected from different vegetable bases were ranged from $58.2 \mu\text{g}\cdot\text{kg}^{-1}$ to $437.8 \mu\text{g}\cdot\text{kg}^{-1}$, and the amounts of three and four rings PAHs were more than 70% of the total PAHs tested in soils. The contents of 15 PAHs in carrot, spinach and eggplant were ranged from $23.4 \mu\text{g}\cdot\text{kg}^{-1}$ to $209.1 \mu\text{g}\cdot\text{kg}^{-1}$ with the mean level of $120.7 \mu\text{g}\cdot\text{kg}^{-1}$. The quantities of low molecular PAHs(three and four rings) were higher than the high molecular PAHs(five and six rings) detected in vegetables, and three and four rings PAHs were between 92.8% and 94.4% of the total PAHs detected in vegetables. Eight carcinogen PAHs contents were ranged from $11.5 \mu\text{g}\cdot\text{kg}^{-1}$ to $17.4 \mu\text{g}\cdot\text{kg}^{-1}$, occupying 9.80% to 13.8% of total PAHs tested in vegetables. The contents of BaP in vegetables were lower than the Chinese standard limits of $5 \mu\text{g}\cdot\text{kg}^{-1}$ in food. The bioaccumulation factors(BAFs) of 15 PAHs in different vegetables were ranged from 0.10 to 9.20, and the highest BAFs of PAHs in vegetables were ten times higher than the lowest one. The BAFs of PAHs in vegetable were in the order of:carrot>spinach>eggplant. The highest BAFs in vegetable were Fle, which was 9.20, 7.07 and 5.48 in carrot, spinach and eggplant respectively. Results from this study provided invaluable data for judging soil quality and vegetable safety in Anhui Province of China.

Keywords:PAHs; soils; vegetables; residue; contamination

多环芳烃(Polycyclic aromatic hydrocarbons, PAHs)是较早发现具有致癌作用的化合物^[1],被联合国环境

收稿日期:2012-03-26

基金项目:国家自然科学基金(41071158);土壤与农业发展可持续发展重点实验室开放基金(0812000037)

作者简介:郜红建(1974—),男,博士,副教授,主要从事土壤污染与农产品质量研究。E-mail:hjgao@ahau.edu.cn

规划署列为持久性有机污染物(Persistent organic pollutants, POPs),被美国环保局和我国列为环境优先控制污染物^[2-3]。PAHs 主要来源于石油精炼、化石和煤炭的不完全燃烧,土壤是 PAHs 的储库,承载了 90%以上的环境负荷^[4]。PAHs 主要通过干/湿沉降、污泥农用和污水灌溉途径进入土壤^[5],其对土壤的污染是逐

渐积累的^[6]。PAHs具有半挥发性和脂溶性,可从土壤中由植物根系吸收或者通过大气沉降作用经植物叶片进入植物体内,并在植物体内迁移和积累,进而通过食物链危害人体健康^[7]。

蔬菜是人类膳食的重要组成部分,我国人均日消费蔬菜0.26 kg,人均年消费蔬菜117~123 kg,蔬菜质量的好坏直接影响到人体健康^[8]。蔬菜体内PAHs的含量与蔬菜生长环境有关,蔬菜地上部分的PAHs含量远大于地下部分的含量,种属差异是影响蔬菜可食用部分PAHs浓度水平的主要因素^[9]。研究表明,珠江三角洲、天津、南京等地区的蔬菜中PAHs残留较为普遍,如东莞市蔬菜中16种PAHs的平均含量为656.3 $\mu\text{g}\cdot\text{kg}^{-1}$ ^[7];顺德市蔬菜中PAHs的平均含量为183.0 $\mu\text{g}\cdot\text{kg}^{-1}$ ^[10];天津花椰菜、芹菜和萝卜体内PAHs的残留量分别为850.0、640.0、340.0 $\mu\text{g}\cdot\text{kg}^{-1}$ ^[11]。研究蔬菜体内PAHs的残留水平,土壤-蔬菜系统中PAHs的吸收、转运与富集规律,对于降低土壤PAHs向蔬菜体内的富集,减少蔬菜体内PAHs含量,保障蔬菜质量具有重要意义。

本文以安徽省合肥、芜湖和亳州市周边典型蔬菜地为对象,研究PAHs在土壤和蔬菜体内的残留水平,分析土壤PAHs在蔬菜体内的富集规律,为土壤环境质量评价和蔬菜安全生产提供科学依据。

1 材料与方法

1.1 仪器与试剂

加速溶剂萃取仪(ASE300型,美国戴安公司),Waters 2695高效液相色谱仪,2475荧光检测器,2707自动进样器,PAHs专用分离柱Supelcosil LC-PAH(250 mm×4.6 mm×5 μm ,美国Supelco公司),RE-3000型旋转蒸发仪(上海亚荣公司)。

美国EPA 16种PAHs标样:萘(Nap)、苊(Ace)、苊烯(Acy)、芴(Fle)、菲(Phe)、蒽(Ant)、荧蒽(Flu)、芘(Pyr)、苯并(a)蒽(BaA)、䓛(Chr)、苯并(b)荧蒽(BbF)、苯并(k)荧蒽(BkF)、苯并(a)芘(BaP)、二苯并(a,h)蒽(DaA)、茚并(1,2,3-c,d)芘(InP)和苯并(g,

h,i)芘(BgP)购自美国Supelco公司。正己烷、丙酮等有机溶剂和无水硫酸钠均为分析纯,购自国药集团化学试剂有限公司。甲醇、乙腈、层析硅胶等均为色谱纯,购于美国Tedia公司。

1.2 土壤和蔬菜样品的采集与前处理方法

2010年10月至11月分别对安徽省合肥、芜湖和亳州市周边10 km范围内的15、11个和12个典型蔬菜地共38个样点进行土壤和蔬菜样品的采集。蔬菜地在城市周边呈“米字型”分布,以覆盖更广泛的区域,从而使所采集样品具有代表性。在每个蔬菜地,土壤(0~20 cm)和蔬菜样品按照“S”型采样法进行,分别采集5个样点的土壤菜样品混合,作为一个混合样品(约1.0 kg)。土壤样品室内自然风干后磨碎过1 mm筛,土壤基本理化性质参考鲁如坤^[11]的方法分析(表1)。

蔬菜样品选择对POPs类污染物具有较高富集能力的胡萝卜和菠菜作为供试品种^[12],以茄子为参照蔬菜品种进行试验。在合肥市周边分别采集蔬菜样品:胡萝卜块根3个、菠菜叶3个和茄子果肉3个;在芜湖市周边分别采集蔬菜样品:胡萝卜块根2个、菠菜叶3个和茄子果肉2个;在亳州市周边分别采集蔬菜样品:胡萝卜块根2个、菠菜叶3个和茄子果肉2个。每种蔬菜在各蔬菜地分别采集5个样点,四分法保留约1.0 kg(鲜重)放入密封袋,快速转移到放有冰块的密封箱中运输、保存。依次用自来水、蒸馏水洗净蔬菜样品表面土壤和杂物后,用滤纸沾干表面水分,在4℃下保存。取一定量的新鲜蔬菜样品在105℃烘干2 h,然后在60℃烘干至恒重,以此计算新鲜蔬菜的质量含水量。

1.3 土壤和蔬菜中PAHs的提取与净化方法

取5.0 g土壤样品和4.0 g硅藻土放在烧杯中,混匀后转移到33 mL萃取池。取新鲜蔬菜样品1.0~2.0 g放入研钵中,加入一定量的石英砂研磨,加入5.0~6.0 g硅藻土充分混匀后,转移到33 mL萃取池中。ASE300的提取条件为:提取溶剂为丙酮/正己烷(V/V,1:1),炉温120℃,压力10 MPa,预热5 min,静态提

表1 蔬菜地土壤理化性质

Table 1 Physical and chemical properties of the tested soils

采样区域	土壤类型	深度/cm	pH	有机质/ $\text{g}\cdot\text{kg}^{-1}$	全氮/ $\text{g}\cdot\text{kg}^{-1}$	速效磷/ $\text{mg}\cdot\text{kg}^{-1}$	速效钾/ $\text{mg}\cdot\text{kg}^{-1}$	黏粒/% <0.002 mm	粉粒/% 0.002~0.02 mm	砂粒/% >0.02 mm
合肥	黄褐土	0~20	6.55	20.72	2.04	108.67	186.52	35.6	38.1	26.3
芜湖	黄棕壤	0~20	5.81	22.13	2.14	98.30	179.40	38.7	40.8	20.5
亳州	潮土	0~20	8.05	18.13	1.91	87.86	157.69	21.4	18.6	60.0

取5 min, 循环2次, 溶剂冲洗体积为60%萃取池体积, N_2 吹扫60 s。蔬菜样品萃取结束后, 采用硫酸磺化法去除色素^[13], 以减少蔬菜中所含色素对测试结果的干扰。萃取结束后, 将萃取溶液旋转蒸发(40 ℃)浓缩至约2 mL, 转移到固相萃取柱(Solid phase extraction, SPE)中进行净化。5 mL的固相萃取柱内装有0.5 g Al_2O_3 +1.5 g 弗罗里硅土, 先用5 mL石油醚淋洗SPE柱, 弃去淋洗液, 将PAHs提取浓缩液转移到SPE柱, 用20 mL石油醚和二氯甲烷混合液(体积比9:1)淋洗, 净化样品。淋洗液再用旋转蒸发仪(40 ℃)浓缩至约1 mL, 经 N_2 吹干, 用乙腈溶解定容至1.0 mL, 过0.45 μm 有机滤膜后, 用液相色谱进行分析。

1.4 PAHs的分析方法

PAHs分析的色谱条件: 流动相为乙腈和水, 在0~5 min内, 乙腈和水的体积各占50%; 在5~20 min内, 乙腈体积逐渐提高到100%, 保持8 min; 在28~32 min内, 乙腈体积降低为50%, 保持10 min。柱温30 ℃, 流速1.5 $mL \cdot min^{-1}$, 进样量20 μL , 激发波长和发射波长为255/380 nm、260/340 nm和294/430 nm 3个通道。外标法定量分析。15种PAHs(除萘外)在土壤和蔬菜(茄子)中的加标回收率试验, 3次重复的平均回收率在80.2%~112.5%之间, 变异系数在

4.6%~9.7%之间, 均小于10%, 可以满足样品分析测定要求。

1.5 数据处理方法

土壤中的PAHs含量以风干土重表示($\mu g \cdot kg^{-1}$), 蔬菜体内PAHs的含量以鲜样测定, 然后根据蔬菜含水量换算成干重表示($\mu g \cdot kg^{-1}$)。实验数据用Microsoft Excel 2003和SPSS 13.0软件进行分析。

2 结果与讨论

2.1 蔬菜地土壤中PAHs含量特征

如表2所示, 安徽省合肥、芜湖和亳州周边蔬菜基地土壤中单种PAHs的含量分别在未检出(n.d.)到96.5 $\mu g \cdot kg^{-1}$ (菲)之间, 土壤中菲、荧蒽、芘和苯并[b]荧蒽的残留量之和分别为145.9, 131.3和93.9 $\mu g \cdot kg^{-1}$, 占土壤中PAHs残留总量的58.6%, 56.7%和55.2%; 而苊、芴和二苯并[a,h]蒽的含量较低。合肥、芜湖和亳州蔬菜地土壤中15种PAHs(Σ PAHs)的残留量之和分别在92.9~435.6, 94.6~437.8 $\mu g \cdot kg^{-1}$ 和58.2~270.3 $\mu g \cdot kg^{-1}$ 之间, 均值分别为248.8, 231.5和170.2 $\mu g \cdot kg^{-1}$, 远低于深圳市菜园地(664.7 $\mu g \cdot kg^{-1}$)^[14]、杭州市钢铁工业区(1 435.3 $\mu g \cdot kg^{-1}$)^[9]和广州市周边(422 $\mu g \cdot kg^{-1}$)蔬菜地土壤中16种PAHs的平均含量^[15], 与顺德市蔬

表2 蔬菜地土壤中PAHs的含量($\mu g \cdot kg^{-1}$)

Table 2 Contents of PAHs in the soils of selected vegetable base($\mu g \cdot kg^{-1}$)

污染物(缩写)	合肥(15)		芜湖(11)		亳州(12)	
	范围	均值	范围	均值	范围	均值
苊(Ace)	0.50~2.50	1.22	0.26~2.14	1.35	0.31~1.89	1.06
二氢苊(Acy)	3.55~20.30	10.30	2.40~16.50	9.86	1.92~13.60	7.61
芴(Fle)	1.30~5.30	2.61	0.98~4.26	2.17	1.02~3.23	1.84
菲(Phe)	26.30~96.50	59.40	20.80~86.40	61.40	12.80~56.40	45.30
蒽(Ant)	1.20~18.70	9.86	0.90~15.70	8.64	1.12~12.50	6.51
荧蒽(Flu)	21.60~75.20	42.30	18.70~71.60	30.80	13.60~26.70	18.60
芘(Pye)	15.90~36.40	25.60	12.10~33.60	22.60	9.86~28.40	17.50
苯并[a]蒽(BaA)	1.80~10.10	7.92	1.56~15.60	8.73	1.16~6.54	4.18
䓛(Chr)	10.80~38.70	21.80	14.80~41.10	22.10	10.80~23.70	17.20
苯并[b]荧蒽(BbF)	5.20~29.10	18.60	4.62~31.60	16.50	3.46~28.10	12.50
苯并[k]荧蒽(BkF)	n.d.~17.60	8.65	n.d.~20.50	9.12	n.d.~16.30	6.14
苯并[a]芘(BaP)	n.d.~20.60	7.60	n.d.~19.60	8.24	n.d.~15.20	5.37
二苯并[a,h]蒽(DaA)	n.d.~5.40	2.63	n.d.~5.80	3.05	n.d.~4.12	2.19
茚并[1,2-cd]芘(IndP)	1.21~28.40	13.60	15.80~32.60	14.20	0.86~18.70	9.45
苯并[g,h,i]芘(BgP)	2.55~35.80	16.70	1.64~40.80	12.70	1.27~34.90	15.70
Σ PAHs	92.90~435.60	248.80	94.60~437.80	231.50	58.20~270.30	170.20

注: Ace(acenaphthene); Acy(acenaphthylene); Flu(Fluorene); Phe(phenanthrene); Ant(anthracene); Fla(fluoranthene); Pyr(pyrrene); BaA[benzo(a)anthracene]; Chr(chrysene); BbF[benzo(b)fluoranthene]; BkF[benzo(k)fluoranthene]; BaP[benzo(a)pyrene]; IndP[indeno(1,2,3-cd)pyrene]; DaA[dibenz(a,h)anthracene]; BgP[benzo(g,h,i)perylene]。 Σ PAHs为15种PAHs含量总和。下表同。

菜地土壤中16种PAHs的平均含量($233.0 \mu\text{g}\cdot\text{kg}^{-1}$)相当^[10]。按照Maliszewska-Kordybach^[16]对土壤PAHs污染情况的划分标准,合肥和芜湖市蔬菜基地土壤PAHs为轻微污染,亳州市蔬菜基地土壤为无污染。

合肥、芜湖和亳州周边蔬菜地土壤中三环PAHs的含量分别为 83.4 、 $83.4 \mu\text{g}\cdot\text{kg}^{-1}$ 和 $62.3 \mu\text{g}\cdot\text{kg}^{-1}$,分别占PAHs残留总量的33.5%、36.0%和36.4%;四环PAHs的含量分别为 97.6 、 $84.2 \mu\text{g}\cdot\text{kg}^{-1}$ 和 $57.5 \mu\text{g}\cdot\text{kg}^{-1}$,分别占PAHs残留总量的39.2%、36.4%和33.6%;而五环和六环PAHs的含量之和仅占PAHs残留总量的27.3%、27.5%和30.0%(图1)。这与张天彬等^[10]的研究结果一致,即土壤四环PAHs含量占16种PAHs总量的40%左右,五环和六环PAHs含量较低。

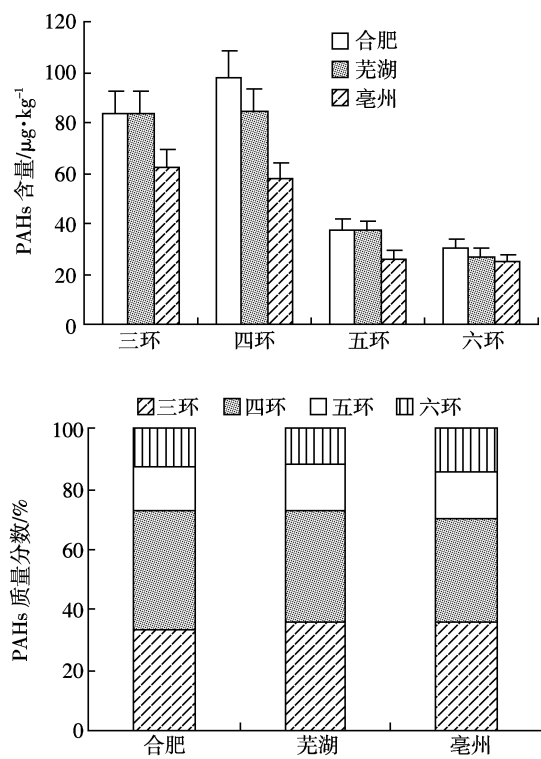


图1 蔬菜地土壤中不同环数PAHs的含量及质量分数

Figure 1 Contents and percents of PAHs with different rings in vegetable soils

2.2 蔬菜中PAHs的累积规律

合肥、芜湖和亳州周边蔬菜中15种PAHs的含量在 23.4 ~ $209.1 \mu\text{g}\cdot\text{kg}^{-1}$ 之间,均值为 $120.7 \mu\text{g}\cdot\text{kg}^{-1}$ (表3)。低于东莞市蔬菜(26.4 ~ $3748 \mu\text{g}\cdot\text{kg}^{-1}$)、顺德市工业区蔬菜(74.0 ~ $334.0 \mu\text{g}\cdot\text{kg}^{-1}$)^[10]和深圳市蔬菜(67.7 ~ $137.0 \mu\text{g}\cdot\text{kg}^{-1}$)中16种PAHs的含量范围^[14];但高于植物体内PAHs的背景值(10 ~ $20 \mu\text{g}\cdot\text{kg}^{-1}$)。这表明合肥、芜湖和亳州周边胡萝卜、菠菜和茄子等蔬

菜已受到PAHs不同程度的污染。15种PAHs在胡萝卜、菠菜和茄子体内的富集量分别在 50.8 ~ 209.1 、 46.1 ~ $162.8 \mu\text{g}\cdot\text{kg}^{-1}$ 和 23.4 ~ $145.3 \mu\text{g}\cdot\text{kg}^{-1}$ 之间,均值表现为胡萝卜($146.9 \mu\text{g}\cdot\text{kg}^{-1}$)>菠菜($117.6 \mu\text{g}\cdot\text{kg}^{-1}$)>茄子($97.7 \mu\text{g}\cdot\text{kg}^{-1}$),且达显著差异水平($P<0.05$)。这一结果低于顺德市菜心($315.0 \mu\text{g}\cdot\text{kg}^{-1}$)和生菜($166.0 \mu\text{g}\cdot\text{kg}^{-1}$)中PAHs的残留量^[10]。

三环PAHs在胡萝卜、菠菜和茄子体内的富集量分别为 96.8 、 $77.9 \mu\text{g}\cdot\text{kg}^{-1}$ 和 $63.0 \mu\text{g}\cdot\text{kg}^{-1}$,分别占PAHs富集总量的65.9%、66.2%和64.5%(图2);四环PAHs在胡萝卜、菠菜和茄子体内的富集量分别为 40.5 、 $33.1 \mu\text{g}\cdot\text{kg}^{-1}$ 和 $27.7 \mu\text{g}\cdot\text{kg}^{-1}$,分别占PAHs富集总量的27.6%、28.2%和28.3%(图2);五环和六环PAHs在胡萝卜、菠菜和茄子体内的富集量之和仅占PAHs富集总量的6.5%、5.6%和7.2%。这与张天彬等^[10]的研究结果一致,即五环和六环PAHs在蔬菜体内的含量较低,而三环和四环PAHs在蔬菜体内的含量较高。这可能是因为土壤中低分子量PAHs比高分子量PAHs具有较高的生物有效性,易于被植物根系吸收;低分子量PAHs比高分子量PAHs具有高的水溶性和挥发性,易被茎叶组织吸收,使得植物体内低分子量PAHs的吸收量和残留量较高^[17-19]。

合肥、芜湖和亳州三地可疑性致癌的PAHs($\Sigma \text{BaA}+\text{Chr}+\text{BbF}+\text{BkF}+\text{BaP}+\text{DaA}+\text{BgP}+\text{InP}$)在胡萝卜、菠菜和茄子体内的平均含量分别为 17.4 、 $11.5 \mu\text{g}\cdot\text{kg}^{-1}$ 和 $13.5 \mu\text{g}\cdot\text{kg}^{-1}$,分别占蔬菜中PAHs富集总量的11.8%、9.80%和13.8%。其中致癌性最强的BaP在胡萝卜、菠菜和茄子体内的平均含量分别为 2.03 、 $1.69 \mu\text{g}\cdot\text{kg}^{-1}$ 和 $1.73 \mu\text{g}\cdot\text{kg}^{-1}$,分别占蔬菜中PAHs含量的1.40%、1.44%和1.78%。这一结果低于顺德市蔬菜中 $7.70 \mu\text{g}\cdot\text{kg}^{-1}$ 的平均含量^[10],也低于天津市西部和南部BaP的平均含量($7.9 \mu\text{g}\cdot\text{kg}^{-1}$)^[5]。参照食品中污染物限量标准(GB 2762—2005)^[20],食品中BaP的含量不能高于 $5 \mu\text{g}\cdot\text{kg}^{-1}$,合肥、芜湖和亳州地区胡萝卜、菠菜和茄子体内BaP的含量均低于国家对食品中污染物的限量标准,安全风险较小。

2.3 PAHs在不同蔬菜体内的富集特征

富集系数(Bioaccumulation factors, BAF)是指植物中某种物质含量与土壤中该物质含量之比,其表征土壤-植物体系中物质迁移的难易程度,是反映植物将土壤中某种物质吸收转移到体内能力大小的评价指标,富集系数越高,表明植物吸收能力越强^[21]。以胡萝卜块根、菠菜叶和茄子果肉体内PAHs的平均含量

表3 蔬菜中PAHs的富集规律($\mu\text{g}\cdot\text{kg}^{-1}$)
Table 3 Residual levels of PAHs in vegetables($\mu\text{g}\cdot\text{kg}^{-1}$)

污染物(缩写)	胡萝卜(7)		菠菜(9)		茄子(7)	
	范围	均值	范围	均值	范围	均值
苊(Ace)	1.16~6.38	3.26±0.68	0.56~2.35	1.26±0.57	0.21~2.10	0.95±0.32
二氢苊(Acy)	4.67~16.50	12.50±2.31	3.24~10.60	8.52±3.15	1.97~7.26	5.64±1.84
芴(Fle)	6.72~30.20	20.30±5.16	7.23~19.70	15.60±6.72	1.28~20.30	12.10±4.61
菲(Phe)	20.60~63.20	52.10±10.20	18.80~55.90	45.70±15.40	10.60~51.00	39.20±10.90
蒽(Ant)	4.21~15.30	8.59±2.16	4.36~8.67	6.83±0.73	1.33~9.26	5.14±2.19
荧蒽(Flu)	7.04~21.10	15.60±4.23	4.69~20.20	12.60±3.17	2.77~11.30	8.73±2.65
芘(Pye)	6.08~30.20	18.20±1.37	5.26~21.10	15.60±1.96	4.35~16.10	12.50±3.73
苯并[a]蒽(BaA)	n.d~9.36	4.61±1.25	1.35~5.67	3.21±1.22	0.76~8.15	4.12±1.94
䓛(Chr)	0.10~3.45	2.04±0.93	0.57~3.28	1.65±0.75	n.d~5.23	2.32±0.82
苯并[b]荧蒽(BbF)	n.d~2.28	0.56±0.14	n.d~0.65	0.38±0.21	n.d~1.91	0.25±0.11
苯并[k]荧蒽(BkF)	n.d~3.02	0.70±0.23	n.d~1.02	0.46±0.18	n.d~1.87	0.45±0.24
苯并[a]芘(BaP)	0.05~2.11	2.03±0.64	0.06~4.07	1.69±0.41	0.11~2.26	1.73±0.67
二苯并[a,h]蒽(DaA)	n.d~2.81	0.95±0.44	n.d~2.15	0.68±0.39	n.d~2.37	0.82±0.26
茚并[1,2-cd]芘(IndP)	0.21~5.16	4.12±1.39	n.d~4.31	2.31±0.67	n.d~4.12	2.93±0.81
苯并[g,h,i]芘(BgP)	n.d~3.03	1.34±0.47	n.d~3.09	1.07±0.35	n.d~2.04	0.86±0.22
Σ PAHs	50.80~209.10	146.90	46.10~162.80	117.60	23.40~145.30	97.70

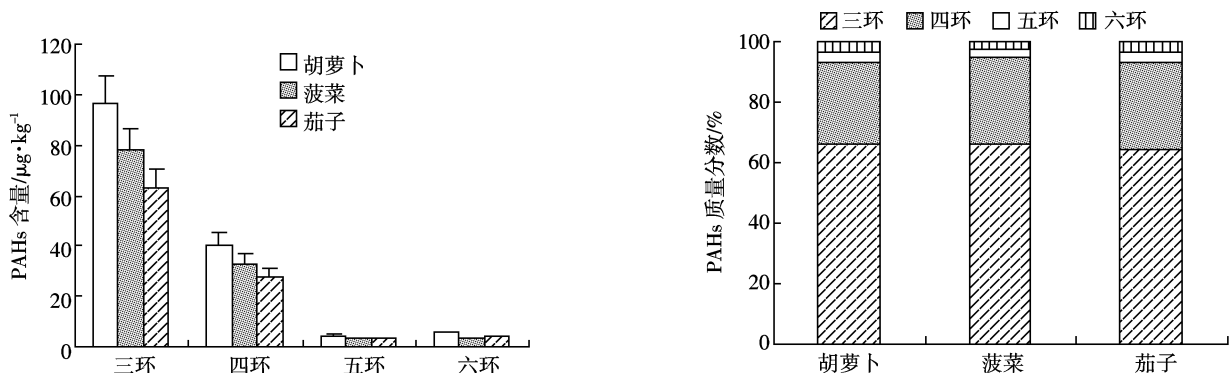


图2 蔬菜中不同环数PAHs的含量及质量分数
Figure 2 Contents and percents of PAHs with different rings in vegetables

与土壤中PAHs平均含量的比值计算富集系数可知,不同类型PAHs在胡萝卜、菠菜和茄子内的富集系数在0.10~9.20之间,极差达10倍以上(图3)。这可能是因为低分子量PAHs的正辛醇/水分配系数($\lg K_{ow}$)小,在水中溶解度大,易被植物吸收,富集系数高;而高分子量PAHs的正辛醇/水分配系数($\lg K_{ow}$)大,水中溶解度小,难以被植物吸收,富集系数低^[22]。Tao等^[5]的研究证实,蔬菜中低分子量PAHs(菲、蒽等)含量较高,在蔬菜体内有明显的富集趋势。

不同PAHs在蔬菜体内的富集系数表现为胡萝卜>菠菜>茄子,其中Fle、Ace、Acy和Ant在胡萝卜体内的富集系数显著高于菠菜($P<0.05$)和茄子($P<0.05$),其余PAHs在胡萝卜、菠菜和茄子体内的富集

系数未达显著差异水平($P>0.05$)。Fle在蔬菜体内的富集系数最高,在胡萝卜、菠菜和茄子体内分别达9.20、7.07和5.48,表明Fle易于在这3种蔬菜体内富集。Ace、Acy和Ant在胡萝卜体内的富集系数大于1.0,Ace在菠菜体内的富集系数大于1.0,其余PAHs在胡萝卜、菠菜和茄子体内的富集系数均小于1.0,这与蔬菜体内PAHs富集量的研究结果一致。

3 结论

(1)安徽省典型城市周边蔬菜地土壤中单种PAHs的含量在n.d.(未检出)~96.5 $\mu\text{g}\cdot\text{kg}^{-1}$ 之间。15种PAHs(除萘外)的残留总量为58.2~437.8 $\mu\text{g}\cdot\text{kg}^{-1}$,三环和四环PAHs含量占PAHs总残留量的70%以上。

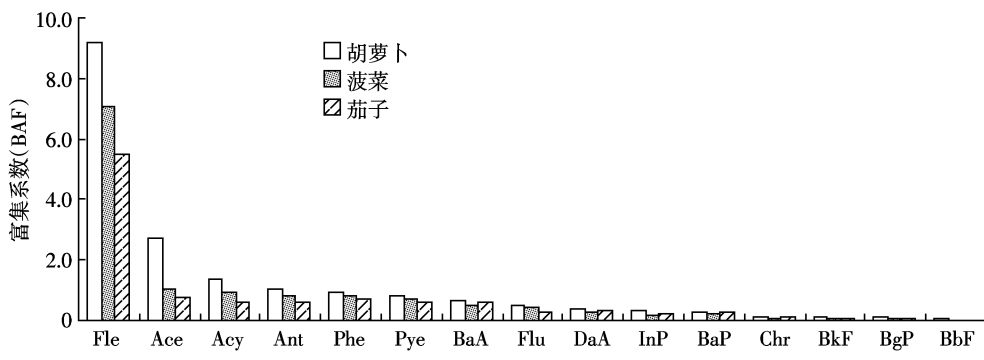


图3 不同PAHs在蔬菜体内的富集系数
Figure 3 Bioaccumulation factors of PAHs in vegetables

(2)安徽省典型城市周边胡萝卜、菠菜和茄子可食部分15种PAHs的含量在 $23.4\sim209.1\mu\text{g}\cdot\text{kg}^{-1}$ 之间,均值为 $120.7\mu\text{g}\cdot\text{kg}^{-1}$,三环和四环PAHs占蔬菜中PAHs富集总量的93.5%、94.4%和92.8%。8种可疑性致癌PAHs含量在 $11.5\sim17.4\mu\text{g}\cdot\text{kg}^{-1}$ 之间,分别占蔬菜中PAHs残留总量的9.80%~13.8%,BaP含量在 $1.69\sim2.03\mu\text{g}\cdot\text{kg}^{-1}$ 之间,低于国家对食品中污染物的限量标准。

(3)15种PAHs在蔬菜体内的富集系数在0.10~9.20之间,极差达10倍以上,低分子量PAHs在蔬菜体内的富集系数要大于高分子量PAHs。15种PAHs在3种蔬菜体内的富集系数表现为胡萝卜>菠菜>茄子的趋势,其中芴在蔬菜体内的富集系数最高。

参考文献:

- [1] Edwards N T. Polycyclic aromatic hydrocarbons(PAHs) in the terrestrial environment: A review[J]. *Journal of Environmental Quality*, 1983, 12(4):427~441.
- [2] Jones K C, de Voogt P. Persistent organic pollutants(POPs): State of the science[J]. *Environmental Pollution*, 1999, 100:209~221.
- [3] 吕正勇, 杨兴伦, 王芳, 等. 温和溶剂提取预测土壤中多环芳烃的生物有效性[J]. 环境科学, 2011, 32(8):2460~2470.
LÜ Zheng-yong, YANG Xing-lun, WANG Fang, et al. Mild solvent extraction technique for the evaluation of PAHs bioavailability[J]. *Environmental Science*, 2011, 32(8):2460~2470.
- [4] Wild S R, Jones K C. Polynuclear aromatic hydrocarbons in the United Kingdom environment: A preliminary source inventory and budget[J]. *Environment Pollution*, 1995, 101(1):91~108.
- [5] Tao S, Cui Y H, Xu F L, et al. polycyclic aromatic hydrocarbons(PAHs) in agricultural soil and vegetables from Tianjin[J]. *The Science of the Total Environment*, 2004, 320:11~24.
- [6] Wilcke W. Polycyclic aromatic hydrocarbons(PAHs) in soil: A review[J]. *Journal of Plant Nutrition and Soil Science*, 2000, 163:229~248.
- [7] 万开, 江明, 杨国义, 等. 珠江三角洲典型城市蔬菜中多环芳烃分布特征[J]. 土壤, 2009, 41(4):583~587.
- WAN Kai, JIANG Ming, YANG Guo-yi, et al. Distribution characteristics of PAHs in vegetables of typical city in Pearl River Delta: A case study of Dongguan City[J]. *Soils*, 2009, 41(4):583~587.
- [8] 侯媛媛, 王礼力. 基于主成分分析基础上的中国蔬菜家庭消费预测[J]. 统计观察, 2010, 23:91~93.
HOU Yuan-yuan, WANG Li-li. Predication of household vegetable consumption in China based on the principal component analysis[J]. *Statistical Observation*, 2010, 23:91~93.
- [9] 沈菲, 朱利中. 钢铁工业区附近农田蔬菜PAHs的浓度水平及分布[J]. 环境科学, 2007, 28(3):669~672.
SHEN Fei, ZHU Li-zhong. Concentration and distribution of PAHs in vegetables grown near an iron and steel industrial area[J]. *Environmental Science*, 2007, 28(3):669~672.
- [10] 张天彬, 万洪富, 杨国义, 等. 珠江三角洲典型城市农业土壤及蔬菜中的多环芳烃分布[J]. 环境科学学报, 2008, 28(11):2375~2384.
ZHANG Tian-bin, WAN Hong-fu, YANG Guo-yi, et al. Distribution of polycyclic aromatic hydrocarbons in agricultural soil and vegetables of Foshan City in the Pearl River Delta[J]. *Acta Scientiae Circumstantiae*, 2008, 28(11):2375~2384.
- [11] 鲁如坤. 土壤农业化学分析方法[M]. 北京: 中国农业出版社, 1999.
LU Ru-kun. Analytical methods for soil and agricultural chemistry[M]. Beijing: China Agricultural Science Press, 1999.
- [12] 郜红建, 蒋新. 有机氯农药在南京市郊蔬菜中的生物富集与质量安全[J]. 环境科学学报, 2005, 25(1):90~93.
GAO Hong-jian, JIANG Xin. Bioaccumulation of organochlorine pesticides and quality safety in vegetables from Nanjing suburb[J]. *Acta Scientiae Circumstantiae*, 2005, 25(1):90~93.
- [13] 郜红建, 蒋新, 常江, 等. 气态DDTs在菠菜和胡萝卜体内的生物富集规律[J]. 中国环境科学, 2006, 26(5):575~578.
GAO Hong-jian, JIANG Xin, CHANG Jiang, et al. Bioaccumulation rule of gaseous DDTs in the bodies of spinach (*Spinacia oleracea* L) and carrot (*Daucus carota* var *sativa* DC)[J]. *China Environmental Science*, 2006, 26(5):575~578.
- [14] 张天彬, 万洪富, 周健民, 等. 深圳表层土壤中多环芳烃的污染特征及来源[J]. 生态环境, 2008, 17(3):1032~1036.
ZHANG Tian-bin, WAN Hong-fu, ZHOU Jian-min, et al. Distribution and source of polycyclic aromatic hydrocarbons(PAHs) in topsoil of Shenzhen[J]. *Ecology and Environment*, 2008, 17(3):1032~1036.

- [15] 马晓轩,冉 勇,邢宝山,等.珠江三角洲一些菜地土壤中多环芳烃的含量及来源[J].环境科学学报,2002,22(10):1727-1733.
MA Xiao-xuan, RAN Yong, XING Bao-shan, et al. Concentration of polycyclic aromatic hydrocarbons in vegetable soils of the Pearl River Delta[J]. *Acta Scientiae Circumstantiae*, 2002, 22(10):1727-1733.
- [16] Maliszewska-Kordybach B. Polycyclic aromatic hydrocarbons in agricultural soils in Poland: Preliminary proposals for criteria to evaluate the level of soil contamination[J]. *Applied Geochemistry*, 1996, 11(12): 121-127.
- [17] Kipopoulou A M, Manoli E, Samara C. Bioconcentration of polycyclic aromatic hydrocarbons in vegetables grown in an industrial area[J]. *Environmental Pollution*, 1999, 106(3):369-380.
- [18] Fismes J, Perrin-Ganier C, Empereur-Bissonnet P, et al. Soil-to-root transfer and translocation of polycyclic aromatic hydrocarbons by vegetables grown on industrial contaminated soils[J]. *Journal of Environmental Quality*, 2002, 31:1649-1656.
- [19] 尹春芹,蒋 新,杨兴伦,等.多环芳烃在土壤-蔬菜界面上的迁移与积累特征[J].环境科学,2008,29(11):2340-2345.
YIN Chun-qin, JIANG Xin, YANG Xing-lun, et al. Characters of soil-vegetable transfer and accumulation of polycyclic aromatic hydrocarbons[J]. *Environmental Science*, 2008, 29(11):2340-2345.
- [20] 中华人民共和国国家标准:GB 2672—2005 食品中污染物限量[S]. National Standard of the People's Republic of China: GB 2672—2005 Maximum levels of contaminants in foods[S].
- [21] Bu-Olayan A H, Thomas B V. Translocation and bioaccumulation of trace metals in desert plants of Kuwait governorates[J]. *Research Journal of Environmental Sciences*, 2009, 3:581-587.
- [22] Maagd P, Hulscher D, Heuvel H, et al. Physicochemical properties of polycyclic aromatic hydrocarbons: Aqueous solubilities, n-octanol/water partition coefficients, and Henry's law constants[J]. *Environmental Toxicology and Chemistry*, 1998, 17(2):251-257.